

آنالیز زمانی و مکانی طوفان‌های گردوغبار در شهر کرمانشاه

سیده‌هدایت شیخ قادری؛ کارشناس ارشد سنجش از دور و سیستم اطلاعات جغرافیایی، گروه سنجش از دور و سیستم اطلاعات جغرافیایی، دانشگاه خوارزمی، تهران، ایران.

طوبی علیزاده^۱؛ دانشجوی دکتری آب و هواشناسی، گروه آب و هواشناسی، دانشکده برنامه ریزی و علوم محیطی، دانشگاه تبریز، تبریز، ایران.

پرویز ضیائیان فیروزآبادی؛ دانشیار سنجش از دور، گروه سنجش از دور و سیستم اطلاعات جغرافیایی، دانشکده علوم جغرافیایی، دانشگاه خوارزمی، تهران، ایران.

رحمن شریفی؛ کارشناسی ارشد آب و هواشناسی، گروه آب و هواشناسی، دانشکده برنامه ریزی و علوم محیطی، دانشگاه تبریز، تبریز، ایران.

دریافت مقاله: ۱۴۰۱/۱۱/۲۵ پذیرش نهایی: ۱۴۰۰/۰۹/۰۷

چکیده

پژوهش حاضر با هدف آنالیز زمانی و مکانی طوفان‌های گردوغبار طی بازه‌ی زمانی ۲۰۱۶ تا ۲۰۱۸ در شهر کرمانشاه با بهره‌گیری از مدل مسیریابی HYSPLIT و بروداکت^۲ MCD^{۱۹A۲} سنجنده مودیس در سالمانه تحت وب گوگل ارت انجین انجام گرفت. جهت مسیریابی منشأ ذرات گردوغبار از روش لاگرانژی مدل HYSPLIT در ۴۸ ساعت قبل از وقوع پدیده گردوغبار در کرمانشاه در سه سطح ارتفاعی ۲۰۰، ۱۰۰۰ و ۱۵۰۰ متری مورد استفاده قرار گرفت. یافته‌های حاصل از نقشه‌های ردیابی مدل HYSPLIT حاکی از آن است که مسیر کلی برای انتقال گردوغبار به منطقه مورد مطالعه مسیر شمال غرب-جنوب شرق با منشأ بیابان‌های عراق و سوریه در سه ارتفاع ۲۰۰، ۱۰۰۰ و ۱۵۰۰ متری در روزهای ۱۷ ژوئن ۲۰۱۶ و ۲۷ اکتبر ۲۰۱۸ و همچنین مسیر جنوب غرب به غرب با منشأ کویت، شمال عربستان و بخشی از عراق در ۲ نوامبر ۲۰۱۷ می‌باشد. نتایج نقشه‌های حاصل از بروداکت^۲ MCD^{۱۹A۲} سنجنده مودیس علی‌الخصوص نقشه‌های تناوب رخداد، غلظت تجمعی، تغییرات مکانی و نقشه بیشترین میزان AOD نشان از همبستگی بالا با نقشه‌های مسیریابی شده مستخرج از مدل HYSPLIT دارد. به طور کلی بر اساس یافته‌های حاصل از نقشه‌های مستخرج از بروداکت^۲ MCD^{۱۹A۲} سنجنده مودیس طی بازه‌ی زمانی ۲۰۱۶ تا ۲۰۱۸ شهر کرمانشاه، مناطق مرکزی و شرقی همواره بیشتر از دیگر مناطق شهر درگیر طوفان گردوغبار گردیده و در این راستا مناطق فوق به صورت متوسط، نسبت به دیگر مناطق شهر بیشتر با آلودگی ناشی از گردوغبار مواجه بوده‌اند. در این راستا نتایج نهایی نشان‌دهنده همبستگی بالا بین داده‌های PM₁₀ واقعی و مقادیر AOD مشتق شده از سنجنده مودیس می‌باشد.

واژه‌های کلیدی: گردوغبار، AOD، مودیس، HYSPLIT، کرمانشاه، گوگل ارت انجین.

مقدمه

یکی از مهم‌ترین چالش‌های زیست‌محیطی به وجود آمده در منطقه خاورمیانه و ایران در سال‌های اخیر پدیده گردوغبار می‌باشد. این پدیده امروزه به یکی از مشکلات اساسی در مناطق خشک و نیمه‌خشک تبدیل شده است. پدیده گردوغبار به عنوان پدیده‌ای اقلیمی در تمام شرایط آب و هوایی رخ می‌دهد که اثرات نامطلوب اجتماعی، اقتصادی، زیست‌محیطی و تجاری را سبب می‌گردد. همچنین حجم فراوان ذرات حمل شده به تروپوسفر، بیلان انرژی را تحت تأثیر قرار می‌دهد که متعاقب آن شرایط آب و هوایی و اقلیم آن ناحیه نیز تحت تأثیر قرار می‌گیرد (شمی‌پور و همکاران، ۱۳۹۱). از عوامل اصلی و مؤثر در رخداد پدیده گردوغبار، موقعیت جغرافیایی و شرایط اقلیمی مناطق منشأ و مناطق تحت تأثیر این پدیده می‌باشد. قرارگیری ایران در کمریند خشک و نیمه‌خشک جهان و از طرف دیگر مجاورت با کشورهایی چون عربستان، عراق و سوریه که دارای فقر پوشش گیاهی بوده و به دلیل بارش اندک و دمای بالا اغلب مساحت این کشورها از بیابان تشکیل شده است و تحت تأثیر شرایط بیابانی، ناپایداری هوا و جریان باد در این مناطق که معمولاً شدید می‌باشد باعث بلند شدن گردوغبار از این نواحی می‌گردد (میری، ۱۳۹۰). پدیده گردوغبار در سال‌های اخیر با تشدید بیابان‌زایی در کشورهای عراق و عربستان و سوریه جنبه‌های مختلفی از زندگی مردم کرمانشاه که در همسایگی کانون‌های گردوغباری هستند را متاثر ساخته است. با توجه به اهمیت آثار منفی طوفان‌های گردوغبار و همچنین روند افزایشی آن‌ها بررسی، تشخیص و تحلیل زمانی و مکانی ویژگی‌های این ریزگردها به منظور مدیریت این بحران و جلوگیری از اثرات زیان‌آور این ریزگردها بسیار مهم می‌باشد (Goudie, ۲۰۰۱). در گذشته به طور کلی پایش ذرات گردوغبار به کمک ایستگاه‌های زمینی انجام می‌گرفت که به دلیل ماهیت اندازه‌گیری نقطه‌ای از دقت بسیار بالایی برخوردار بودند اما گستره مکانی بسیار کوچک شامل ستونی از گردوغبار بر فراز ایستگاه را پوشش می‌دادند، همچنین به دلیل نیاز به رسیدگی و مراقبت پیوسته از ایستگاه این امکان وجود داشت که در بازه‌های زمانی مختلفی به دلیل نقض فنی در ایستگاه، آرشیو داده‌های ایستگاه ناقص گردد. در چنین شرایطی دسترسی به منبعی مناسب که بتواند اطلاعات دقیقی از این پدیده‌ی دینامیک و تغییرات آن درگذر زمان در اختیار قرار دهد بسیار حائز اهمیت است. در این راستا در دهه‌های اخیر با پرتتاب ماهواره‌های مختلف به مدار کرده زمین و همچنین افزایش دقت سنجنده‌های ماهواره‌ای، استفاده از داده‌ها و تصاویر ماهواره‌ای به منظور تحلیل و بررسی پدیده‌های مختلف حوزه‌های زیست‌محیطی را ممکن ساخته است. به کمک تصاویر ماهواره‌ای و تکنیک‌های سنجش از دور می‌توان تغییرات آتروسل‌های موجود در اتمسفر شامل گردوغبار را در ابعاد مکانی بسیار وسیع با دقت بالا و به صورت روزانه پایش و مطالعه نمود. در این میان مطالعات مربوط به پایش تغییرات زمانی و مکانی چنین پدیده‌ی دینامیکی نیازمند اخذ و پردازش تصاویر ماهواره‌ای زیادی است که این حجم از داده می‌تواند زمان تجزیه و تحلیل و پردازش‌ها را بالا ببرد. لذا در دسترس بودن منبعی که بتواند این حجم از پردازش‌ها را کاهش دهد، می‌تواند مثمر ثمر باشد. یکی از منابع اطلاعاتی که در پایش زمانی تغییرات قابلیت زیادی دارد، می‌توان به سامانه تخصصی سنجش از دور تحت وب^۲ (GEE) اشاره کرد. گوگل ارث انجین یک پلتفرم رایانش ابری است که در سال ۲۰۱۰ توسط گوگل راه‌اندازی شد (Kumar and Mutanga, ۲۰۱۸). این سامانه تحت وب از زیرساخت محاسباتی گوگل و مجموعه داده‌های سنجش از دور که در دسترس هستند استفاده می‌کند (Corelick et al, ۲۰۱۷). گوگل

^۲. Google Earth Engine

ارث انجین جدیدترین پلتفرم پردازش تصاویر ماهواره‌ای است که با فراهم آوردن امکان دسترسی آزاد کاربران به مجموعه داده‌های سنجش از دور، فرآیند کشف علمی را تسهیل می‌کند (Amani, et al, ۲۰۱۹; Tamiminig, et al ۲۰۲۰). درواقع در این سامانه کاربران نیازی به نرمافزار و دانلود تصاویر مختلف برای پردازش ندارند. همچنین این سامانه توanstه است بسیاری از فرایندهای پردازش تصاویر ماهواره‌ای را در سال‌های اخیر آسان کند. در این میان طی سال‌های گذشته همراه با پیشرفت‌های چشم‌گیر سامانه گوگل ارث انجین، پروداکت‌های آماده هم که کاربران را از پیش‌پردازش‌های مختلف مانند تصحیح رادیومتریک، اتمسفری و هندسی وغیره بی‌نیاز می‌کند، توسعه یافته‌اند. یکی از پروداکت‌های بسیار مهم و کاربردی پروداکت آماده عمق اپتیکی آئروسل^۳ AOD سنجنده مودیس می‌باشد. پروداکت AOD سنجنده MODIS به صورت روزانه و با توان تفکیک مکانی ۱ کیلومتری در اختیار کاربران قرار می‌گیرد. در حقیقت پروداکت AOD نشان‌دهنده میزان آئروسل‌های موجود در جو و غلظت آن است. مطابق تعریف، عمق اپتیکی معیاری از ممانعت ذرات معلق و گردوغبار در برابر رسیدن نور خورشید به زمین است. به عبارت دیگر، ذرات معلق موجود در هوای توسط مکانیسم‌های جذب و پخش، ممانعت توسط پارامتر بدون بعد عمق اپتیکی تعیین می‌گردد. این معیار می‌تواند تا حدی تعیین‌کننده میزان کدورت هوا نیز باشد (Qi, et al, ۲۰۱۳). به طور مثال عدد ۰/۰۱ برای مقدار عمق اپتیکی، بیانگر آسمانی صاف و شفاف است در حالی که مقدار ۰/۰۰۰ نشان‌دهنده آسمانی کدر و تار است (Ichoku, et al, ۲۰۰۳). در همین راستا طی دو دهه اخیر، استفاده از تصاویر ماهواره‌ای به منظور پایش و ارزیابی گردوغبار در مطالعات داخلی و خارجی، افزایش چشمگیری داشته است (Mehta et al, ۲۰۱۶; Lin et al, ۲۰۱۶). در ادامه به بعضی از مهم‌ترین این تحقیقات که گهاً با بهره‌گیری از سامانه‌ی گوگل ارث انجین بوده اشاره خواهد شد. کاسکاویس و همکاران (Kaskaoutis, et al, ۲۰۰۷) جهت پایش فصلی ذرات معلق بر فراز یونان از آمار طولانی مدت ۲۰۰۰ تا ۲۰۰۵ شاخص AOD محصول MODIS استفاده کردند. آن‌ها حداقل مقدار AOD را در زمستان ۰/۲ و ماکزیمم مقدار آن را در تابستان ۰/۴۵ مشاهده کردند. (راشکی و همکاران، ۲۰۱۶)، تغییرات زمانی و مکانی طوفان‌های گردوغبار منطقه سیستان ایران را با استفاده از داده‌های شاخص گردوغبار AI عمق نوری ذرات AOD حاصل سنجنده‌های TOMS، OML و MISR را بررسی کردند و غلظت بالاتر ذرات معلق در اتمسفر در طول تابستان را نتیجه عمل ترکیبی خشک شدن فصلی دریاچه هامون و بادهای قوی لولار دانستند. (نامداری و همکاران، ۲۰۱۶)، با استفاده از میانگین ماهانه عمق اپتیکی گردوغبار را در بخش‌های غربی ایران و مناطق متأثر از آن‌ها در طول دوره ۲۰۰۰ تا ۲۰۱۴ را بررسی کردند. بر اساس نتایج این پژوهش، در بیشتر سال‌ها، جولای بالاترین میانگین AOD را دارد. (محمودی و ریگی چاهی، ۲۰۱۹) با بهره‌گیری پروداکت ماهانه‌ی AOD سنجنده مودیس در سامانه‌ی گوگل ارث انجین به پایش و ارزیابی تغییرات گردوغبار در حوضه‌ی جازموریان در جنوب‌شرقی ایران در بازه‌ی زمانی ۲۰۰۰ تا ۲۰۱۷ پرداختند. یافته‌های پژوهش آن‌ها حاکی از آن بود که تغییرات AOD برای ماههای ژانویه، فوریه، آوریل و مه قابل توجه بوده است و به طور کلی در ماه ژانویه این روند صعودی‌تر بوده است. (رضویزاده و همکاران، ۱۳۹۹) با بهره‌گیری پروداکت AOD سنجنده مودیس در سامانه تحت وب گوگل ارث انجین به بررسی پدیده گردوغبار در استان گلستان با تأکید بر شاخص عمق اپتیکی و سمت و سرعت باد پرداختند. یافته‌های پژوهش آن‌ها حاکی از این است که در سال ۱۳۸۸ مقدار AOD بیشترین شدت و غلظت را داشته و بیشترین میزان

^۳. Aerosol Optical Depth

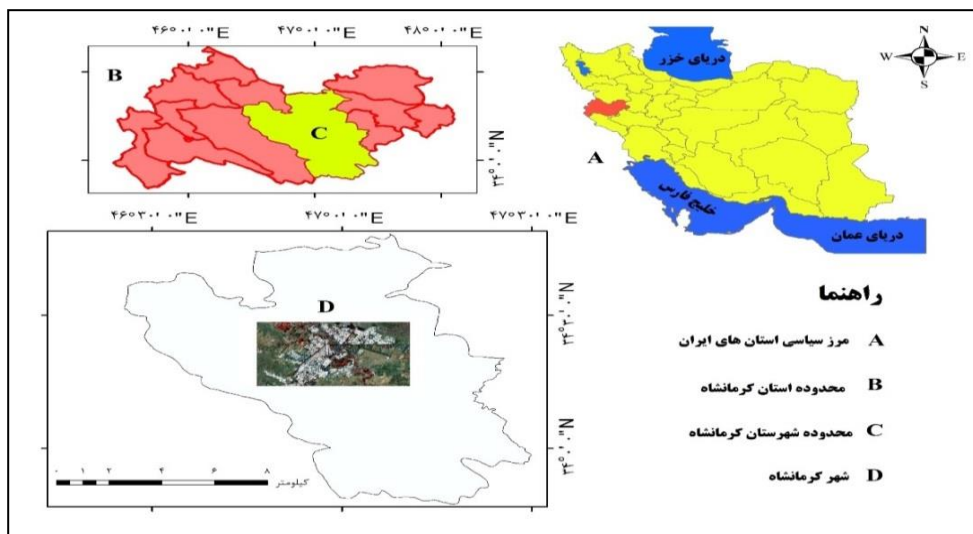
گردوغبار مربوط به ماههای تیر و مرداد بوده است. همچنین نتایج نهایی آن‌ها نشان‌دهنده‌ی این است که جهت گردوغبار در این استان غالباً غربی و جنوب‌غربی می‌باشد. (ناصرپور و همکاران، ۱۳۹۲) مطالعه‌ای باهدف شناسایی الگوهای سینوپتیکی مؤثر در ایجاد توفان‌های گردوغبار و تشخیص مناطق خیزش این توفان‌ها در جنوب غرب ایران برای دوره ۱۹۹۰-۲۰۱۲ با بهره‌گیری از تحلیل سینوپتیکی و پردازش تصاویر ماهواره‌ای NOAA/AVHRR انجام دادند. در ادامه‌ی همین مطالعات رانجان و همکاران و درویشی بلورانی و همکاران نیز در مطالعه و ارزیابی‌های خود مربوط به پدیده‌ی گردوغبار از سامانه‌ی نوین گوگل ارت انجین بهره گرفته‌اند (Ranjan,et al., ۲۰۲۰ Boloorani, et al., ۲۰۲۱).

با توجه به ادبیات تحقیق در ارزیابی و پژوهش‌های مربوط به پدیده‌ی گردوغبار، در سال‌های گذشته آنالیز تغییرات زمانی و مکانی این پدیده‌ی زیستمحیطی با استفاده از فناوری سنجش از دور تسهیل شده است. هدف از پژوهش حاضر آنالیز زمانی و مکانی طوفان‌های گردوغبار در شهر کرمانشاه با استفاده از داده‌های ماهواره‌ای سنجنده‌ی مودیس می‌باشد. به‌طورکلی در این تحقیق با بهره‌گیری از پروداکت AOD سنجنده‌ی مودیس در محیط سامانه‌ی گوگل ارت انجین و همچنین میزان PM₁₀ موجود در هوا حاصل از ایستگاه‌های زمینی، وضعیت طوفان‌های با غلظت زیاد در شهر کرمانشاه در بازه‌ی زمانی ۲۰۱۶ تا ۲۰۱۸، مسیریابی، ارزیابی و مطالعه گردید.

داده‌ها و روش کار

• قلمرو جغرافیایی مورد مطالعه

منطقه کرمانشاه در غرب ایران به دلیل نزدیکی به بیابان‌های کشورهای مجاور در معرض رخدادهای گردوغباری متعدد است. با توجه به مسیر حرکت سامانه‌ها و نحوه قرارگیری ناوه‌ها و کم فشارها در روزهای متفاوت، مهمترین چشمه‌های گردوغبار وارد به این منطقه، صحراي سوريه، کويت، بیابان‌های مرکزی و غربی عراق و بیابان نفوذ در عربستان است. از نظر موقعیت جغرافیایی محدوده مورد مطالعه در بین ۴۶ درجه و ۲۵ دقیقه تا ۴۷ درجه و ۴ دقیقه طول شرقی و ۳۳ درجه و ۴۵ دقیقه تا ۳۴ درجه و ۴ دقیقه عرض شمالی از نصف النهار گرینویچ قرار دارد. شهرستان کرمانشاه مساحتی بالغ بر ۲۴۶۴۰ کیلومترمربع و ایستگاه آن ۱۴۲۰ متر از سطح دریا ارتفاع دارد. دارای آب و هوای خشک و نیمه خشک با جبهه‌های مرطوب مدیترانه‌ای است. متوسط میزان بارندگی آن بین ۴۰۰ تا ۵۰۰ میلیمتر می‌باشد و میانگین دمای سالیانه ۱۶ درجه سانتیگراد است. جهت وزش بادهای غالب در این منطقه در طول سال غربی بوده که همراه با نوساناتی در جهت شمال غرب و جنوب غربی است (شکل ۱).

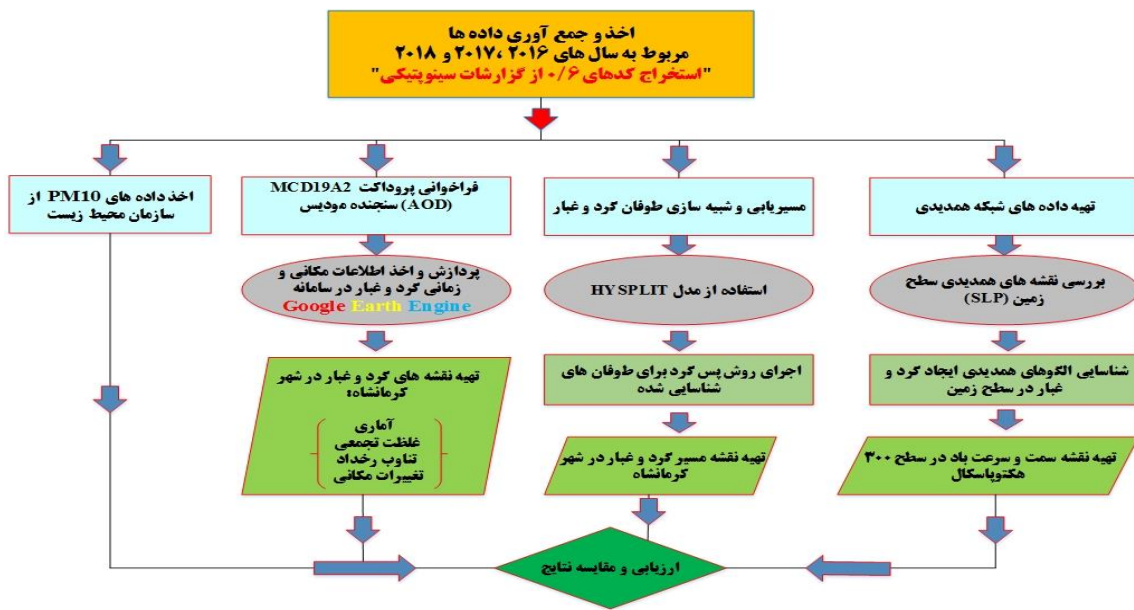


شکل ۱- موقعیت جغرافیایی شهر کرمانشاه در استان

• داده‌های مورداستفاده و روش کار

در پژوهش حاضر به منظور واکاوی و ارزیابی تغییرات زمانی و مکانی و همچنین بررسی میزان غلظت گردوغبار در شهر کرمانشاه در سال‌های ۲۰۱۶ تا ۲۰۱۸ از پروداکت آماده عمق اپتیکی آئروسل AOD با عنوان MCD19A2 سنجنده‌ی MODIS با بهره‌گیری از پردازشگر آنی گوگل ارث انجین انجام گرفت. همچنین جهت تحلیل سینوپتیک علل و قوع طوفان‌های گردوغبار از مجموعه داده‌های پیش‌بینی میان‌مدت جوی مرکز اروپایی^۴ با قدرت تفکیک ۰/۱۲۵ درجه قوسی شامل، فشار تراز دریا SLP، مؤلفه‌های مداری و نصف‌النهاری باد در تراز ۳۰۰ هکتوپاسکال در منطقه مورد مطالعه استفاده گردید. با استفاده از داده‌های فوق در به کارگیری نرم‌افزار GRADS؛ الگوهای بادی و سامانه‌ی همدیدی مؤثر در حمل و انتقال ریزگردها به شهر کرمانشاه ترسیم شد. در مرحله بعد با استفاده از مدل HYSPLIT ذرات گردوغبار در سه سطح ۲۰۰، ۱۰۰۰ و ۱۵۰۰ متری از سطح زمین در حدفاصل زمانی ۶ تا ۴۸ ساعت قبل از رخداد گردوغبار به روش لاغرانژی ردیابی شدند. درنهایت جهت ارزیابی و صحت نتایج حاصله از میزان ذرات معلق موجود در هوا (PM₁₀) که توسط ایستگاه‌های زمینی اخذ شده‌اند، استفاده گردید و نهایتاً میزان همبستگی میزان AOD های حاصل از سنجنده مودیس و داده‌های زمینی محاسبه شد. (مدل مفهومی شکل ۲).

^۴. European Centre for Medium-Range Weather Forecasts



شکل ۲: روند اجرای تحقیق

• پروداکت MCD19A2 سنجنده‌ی MODIS

داده‌های سنجنده MODIS به صورت آماده در قالب پروداکت‌های موضوعی در زمینه‌های مختلف منتشر می‌شود. یکی از این‌ها پروداکت عمق اپتیکی آئروسل AOD است. در حقیقت پروداکت AOD نشان‌دهنده میزان آئروسل‌های موجود در جو و غلظت آن است. هرچقدر مقدار عددی AOD بالاتر باشد میزان آئروسل‌ها نیز بیشتر است و به عنوان یکی از داده‌های مهم در مطالعات گردوغبار همواره مورد استفاده قرار می‌گیرد.

محصول MCD19A2 نسخه ۶ سنجنده‌ی مودیس^۵ (طیف‌سنج تصویربرداری با وضوح متوسط) است که به صورت ترکیبی چند زوایه‌ای روی دو ماهواره‌ی آکوا و ترا AOD قرار گرفته است. این پروداکت که از نظر اتمسفری تصحیح شده با توان تفکیک مکانی ۱ کیلومتر به صورت روزانه برداشت می‌گردد^۶. درواقع عمق اپتیکی آئروسل AOD (ضخامت نوری آئروسل) سطحی را نشان می‌دهد که ذرات موجود در هوا (آئروسل‌ها) از عبور نور از جو جلوگیری می‌کنند. آئروسل‌ها نور خورشید ورودی را پراکنده و جذب می‌کنند که باعث کاهش دید و افزایش عمق نوری می‌شود. از دید ناظری که روی زمین است با AOD کمتر ۱/۰ آسمان آبی روشن و با حداقل دید قابل مشاهده است. با افزایش AOD از ۱/۰ به ۵/۰ و خصوصاً بالای ۳/۰ گردوغبار آنقدر زیاد می‌شود که خورشید قابل مشاهده نیست. داده‌های AOD مخصوصاً باند آبی AOD در محدوده‌ی طیفی ۴۷/۰ میکرومتر، باند سبز AOD در محدوده‌ی ۵۵/۰ میکرومتر هست. درواقع این محصول در کنار پایش طوفان‌های گردوغبار، کاربردهای دیگری همچون شناسایی خاکسترها، آتش‌نشانی و آلودگی هوا هم دارد.

^۱. Moderate Resolution Imaging Spectroradiometer

^۲. <https://worldview.earthdata.nasa.gov>

• پردازش پروداکت MCD۱۹A۲ در سامانه GEE

در راستای استخراج نقشه‌های مختلف از گردوغبار در سه سال مختلف ۲۰۱۶، ۲۰۱۷ و ۲۰۱۸ ابتدا محدوده‌ی مطالعاتی شهر کرمانشاه در سامانه‌ی GEE فراخوانی گردید. در ادامه کد MODIS/۰۰۶/MCD۱۹A۲_GRANULES ee.ImageCollection مربوط به پرداکت MCD۱۹A۲ سنجنده‌ی مودیس به محیط کد نویسی سامانه GEE اضافه شد. در گام بعدی با استفاده از دستور clip(geometry) این پرداکت جهانی بر اساس محدوده شهری کرمانشاه برش داده شده و در ادامه به منظور فراخوانی تصاویر مربوط به سال‌های ۲۰۱۶، ۲۰۱۷ و ۲۰۱۸ که در آن بیشترین میزان گردوغبار در ایستگاه‌های زمینی شهر کرمانشاه ثبت شده بود اقدام گردید (جدول ۱).

جدول ۱. تصاویر اخذشده سنجنده مودیس در شهر کرمانشاه متناسب با ایستگاه‌های زمینی در محیط GEE

تصاویر پرداکت MCD۱۹A۲ سنجنده مودیس	
تاریخ میلادی	سال
۲۰۱۶/۶/۱۸ تا ۲۰۱۶/۶/۴	(۱۳۹۵) ۲۰۱۶
۲۰۱۷/۱۱/۳ تا ۲۰۱۷/۱۰/۲۸	(۱۳۹۶) ۲۰۱۷
۲۰۱۸/۱۰/۲۹ تا ۲۰۱۸/۱۰/۲۰	(۱۳۹۷) ۲۰۱۸

پس از فراخوانی تصاویر، از بین دو باند ۰/۴۷ و ۰/۵۵ میکرومتر باند با عمق اپتیکی ۰/۵۵ میکرومتر انتخاب می‌گردد. درواقع علت انتخاب این باند نسبت به باند ۰/۴۷ میکرومتر مربوط به پخش اتمسفری است؛ به این صورت که پخش اتمسفری طول موج‌های بلند معمولاً ناشی از ذرات گردوغبار موجود در جو است در حالی که پخش اتمسفری طول موج‌های کوتاه ناشی از ذرات مولکولی موجود در جو می‌باشد (فاطمی و رضایی، ۱۳۹۶). در این راستا با توجه به منابع موجود یک ضریب مقیاس^۷ ۰/۰۰۱ برای تصحیح باند عمق اپتیکی ۰/۵۵ در نظر گرفته می‌شود.^۸ پس از تصحیحات و آماده‌سازی تصاویر مورد نظر ابتدا اقدام به تهیه‌ی نقشه‌های آماری حداقل، حداکثر، میانگین و میانه گردوغبار برای هر یک از سال‌های ۲۰۱۶، ۲۰۱۷ و ۲۰۱۸ گردید. بعد از آن به ترتیب نقشه‌های غلظت تجمعی، تناوب رخداد و تغییرات مکانی برای شهر کرمانشاه تولید شد. برای تهیه‌ی نقشه‌ی غلظت گردوغبار به این صورت عمل شد که تراکم AOD برای هر کدام از سال‌های مورد نظر به صورت پیکسل به پیکسل محاسبه و جمع می‌شوند تا مشخص گردد که در طول بازه‌ی مورد نظر کدام مناطق شهر کرمانشاه بیشترین میزان غلظت و تراکم گردوغبار را داشته‌اند.

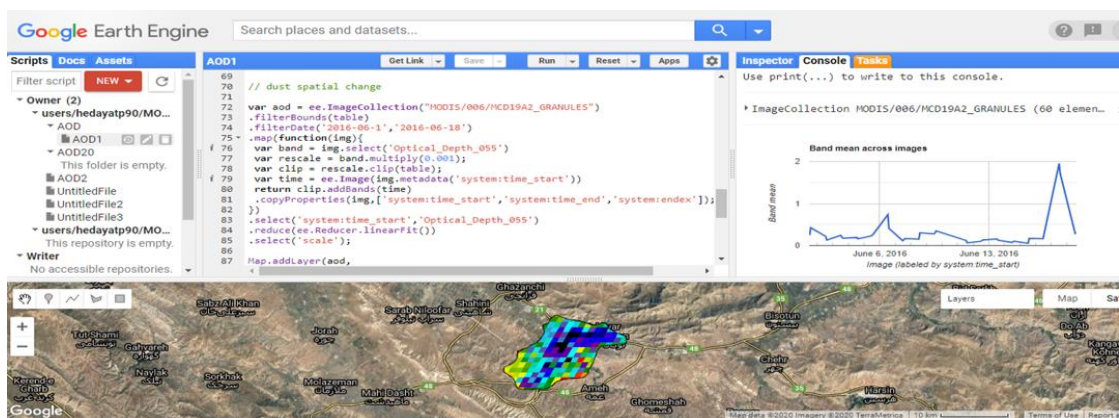
به منظور تهیه‌ی نقشه‌ی تناوب رخداد در طول بازه‌ی مورد نظر برای هر کدام از سال‌های مورد نظر به این صورت عمل شد که ابتدا مقادیر بالای با AOD ۰/۵ به بالا به عنوان پدیده گردوغبار و AOD های کمتر از آن به عنوان عدم وجود گردوغبار در نظر گرفته شد. لازم به ذکر است که به صورت کلی مقدارهای AOD بیشتر از ۰/۵ یا ۱ برای گردوغبار در نظر گرفته شده است که هر دو مورد قابل استناد است.^۹

^۷. scale factor

^۸. <https://worldview.earthdata.nasa.gov>

^۹. <https://worldview.earthdata.nasa.gov>

در این تحقیق با توجه به شدت گردوغبار موجود در شهر کرمانشاه در سه سال مورد نظر مقدار حداقل AOD $0/5$ در نظر گرفته شد. پس از آن برای اینکه مشخص شود کدام مناطق رخدادهای بیشتر و کدام مناطق رخداد کمتر گردوغباری را تجربه کرده‌اند تمام AOD های بالاتر از مقدار $0/5$ عدد ۱ و کمتر از آن عدد صفر به آن اختصاص داده شده و نهایتاً تعداد رخدادها برای هر کدام از سال‌های ۲۰۱۶، ۲۰۱۷ و ۲۰۱۸ با هم جمع می‌گردند. در ادامه برای اینکه مشخص شود کدام مناطق در گذر زمان با افزایش میزان گردوغبار مواجه بوده‌اند و کدام مناطق روند کاهشی داشته‌اند اقدام به تهیه‌ی نقشه‌ی تغییرات مکانی گردوغبار خواهد شد. در واقع برای تهیه‌ی نقشه‌ی تغییرات مکانی رگرسیون خطی رابطه‌ی AOD با زمان در نظر گرفته شده و در آن تغییرات افزایشی و کاهشی پدیده‌ی گردوغبار متناسب با زمان نمایش داده می‌شود که مقادیر آن بین $3+3$ -متغیر است. در واقع هر چه مقدار این عدد به $3+3$ -نژدیک‌تر باشد یعنی اینکه گردوغبار روند افزایشی داشته است و هرچه این عدد کمتر باشد حاکی از آن است روند گردوغبار کاهشی بوده است. در نهایت پس از تهیه‌ی تمام نقشه‌های موردنظر جهت خروجی گرفتن با اندازه‌ی پیکسل سایز ۱ کیلومتر اقدام گردید. در (شکل ۳) محیط کد نویسی سامانه‌ی گوگل ارث انجین نشان داده شده است.



شکل ۳. محیط کد نویسی سامانه‌ی تحت وب گوگل ارث انجین

• مدل مسیریابی HYSPLIT

برای تعیین مسیر گردوغبار از مدل ترکیبی لاگرانژی با امکان ردیابی پسگرد ذرات در ترازهای مختلف جو موسوم به مدل^{۱۰} HYSPLIT استفاده شد. در این مدل موقعیت اولیه ذرات گردوغبار شامل مؤلفه‌های مکانی آلودگی، اطلاعات هواشناسی مانند سرعت و جهت باد از جمله پارامترهای مورد نیاز است. ذرات با توجه به سرعت و جهت باد در هوا حرکت می‌کنند و نرم‌افزار به ثبت مسیر آن‌ها می‌پردازد. این مدل، مدلی دوگانه برای محاسبات خط سیر حرکت گردوغبار، پراکنده‌ی و شبیه‌سازی تهشیینی آن با استفاده از رویکردهای PUFF و ذرات است که در آن محاسبه مسیر و غلظت آلاینده با استفاده از حداقل پارامترهای هواشناسی انجام گرفت. روش محاسبه مدل، ترکیبی میان دیدگاه‌های اویلری و لاگرانژی است و به همین دلیل HYSPLIT را مدلی دوگانه می‌نامند (بهیار، ۲۰۱۵).

^{۱۰}. Hybrid Single-Particle Lagrangian Integrated Trajectory

دو دیدگاه اساسی بر این مدل حاکم است:

۱- رویکرد لاغرانژی: در این رویکرد قضیه از دید فردی که با بسته هوا در حرکت است، بررسی می‌شود. به این ترتیب مجموع غلظت ذرات در هر شبکه در طول مسیر حرکت تعیین می‌شود.

۲- رویکرد اویلری: در این حالت قضیه از دید فردی که در مکان ثابت ایستاده است، بررسی می‌شود. غلظت ذرات برای هر شبکه با استفاده از حرکات پخش و انتقال ذرات تعیین می‌گردد. از آنجایی که رهیافت لاغرانژی هر ذره در زمان‌های مختلف موقعیت‌های متفاوتی خواهد داشت، بنابراین این امکان فراهم می‌شود که مدل‌های پایه لاغرانژی پس از انتخاب ذره در موقعیت مکانی و زمانی خاص، حرکت آن را در گام‌های زمانی دلخواه به سمت آینده^{۱۱} یا به سمت زمان‌های گذشته یا پسگرد^{۱۲} ردیابی کنند، بنابراین در پژوهش حاضر از روش لاغرانژی استفاده شد (بهیار، ۲۰۱۵).

• صحت سنجی

در پژوهش حاضر به منظور ارزیابی نهایی نتایج، نمودار پراکنش نقطه‌ای بین مقادیر داده‌های PM_{10} برگرفته از سازمان محیط‌زیست استان کرمانشاه و مقادیر AOD مستخرج از سنجنده MODIS، ترسیم شد و بر این اساس با استفاده از ضریب تعیین^{۱۳} R^۲، یافته‌های نهایی مورد ارزیابی و مقایسه قرار می‌گیرد.

شرح و تفسیر نتایج

• مطالعه همدیدی، تعیین منشأ و مسیر گردوبغار با مدل HYSPLIT

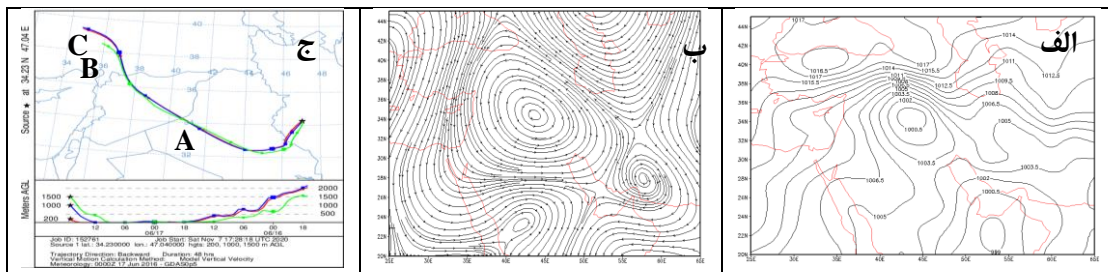
با توجه به بررسی‌های انجام شده، روزهای ۱۷ ژوئن ۲۰۱۶، ۲۰۱۷ و ۲۰۱۸ و ۲۷ اکتبر ۲۰۱۸ به علت تداوم وجود گردوبغار و غلظت بالای آن در شهر کرمانشاه، برای بررسی همدید و تعیین کانون این گردوبغارها بر مبنای الگوریتم مدل HYSPLIT از رویکرد لاغرانژی ذرات گردوبغار انتخاب شدند.

(شکل ۴، الف) نقشه فشار تراز دریا در روز ۱۷ ژوئن ۲۰۱۶ را نشان داده است. همان‌طور که در این نقشه پیداست، در این روز سیستم کم‌فشار حرارتی با فشار ۵/۱۰۰۰ هکتوپاسکال در سطح منطقه فعال بوده و زبانه‌های آن به سمت شرق و روی منطقه مورد مطالعه کشیده شده است، اما در شمال‌غرب این کم‌فشار، پرفساری با ۵/۱۰۱۸ هکتوپاسکال بر روی ترکیه مستقر بوده و کنش و واکنش این سامانه منجر به ایجاد شیب فشاری متأثر از جریانات پرفساری عرض‌های بالاتر شده است این اختلاف فشار باعث افزایش سرعت باد و شکل‌دهی جریاناتی از شمال‌غرب به سمت جنوب‌شرق ایران شده است (شکل ۴، ب). بررسی مدل نشان می‌دهد که در این روز ذرات غباری در ارتفاعات زیر ۱۵۰۰ متری مسیر افقی را ابتدا از سوریه طی کرده و سپس با عبور از بیابان‌های مرکزی و غربی عراق و با انتشار عمودی ناچیزی به سمت شرق ادامه داده‌اند و با یک جهش عمودی در ساعت‌های پایانی در ارتفاعات بالاتر از ۲۰۰۰ متری به مرزهای غربی کشور نفوذ کرده و به منطقه منتقل شده‌اند (شکل ۴، ج). منشأ هر سه سطح ارتفاعی گردوبغار شهر کرمانشاه، کشورهای همسایه بوده‌اند که حاکی از آشفتگی جریان هوا در

^{۱۱}. forward

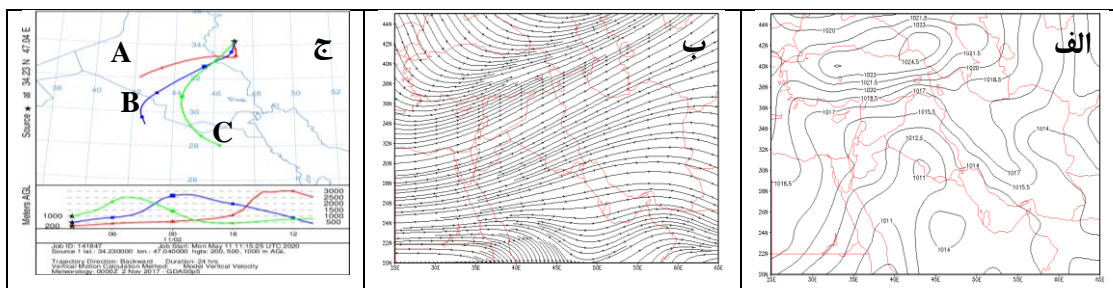
^{۱۲}. backward

منطقه دارد. به همین دلیل است که پیک اصلی یا بیشترین غلظت PM_{10} ۲۱۲۵/۳۴۶ میکروگرم بر متر مکعب در این توفان به ثبت رسیده است و تعداد ساعت‌های دوام این توفان گردوغبار به ۲۱ ساعت در این روز رسیده است.



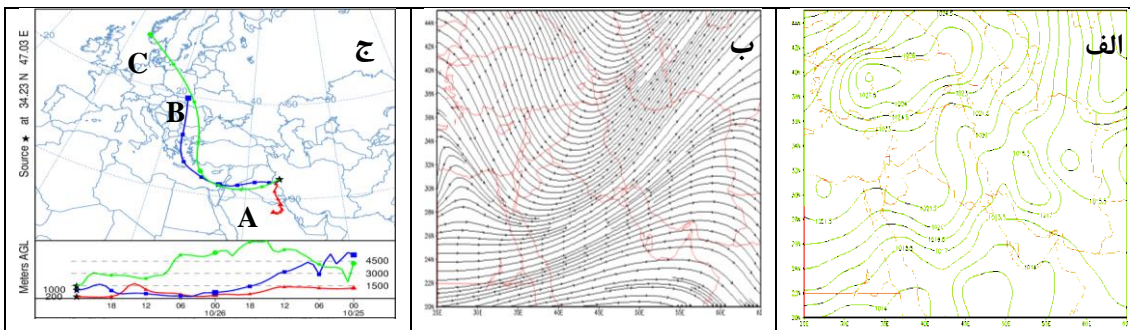
شکل ۴: (الف) فشار سطح دریا؛ (ب) جریان باد تراز ۳۰۰؛ (ج) نقشه ردیابی ذرات گردوغبار HYSPLIT روز ۱۷ زوئن ۲۰۱۶

(شکل ۵، الف) نقشه فشار تراز دریا در روز دوم نوامبر ۲۰۱۷ را نشان می‌دهد. همان‌طور که در این نقشه پیداست، در این روز سیستم کم‌فشار حرارتی با فشار ۱۰۱۱ هکتوپاسکال سطح منطقه فعال می‌باشد؛ اما در شمال غرب این کم‌فشار، پرفشاری با ۱۰۲۴/۵ هکتوپاسکال بر روی ترکیه مستقر است که منجر به ایجاد شیب فشاری متأثر از جریانات پرفشاری عرض‌های بالاتر شده است این اختلاف فشار باعث افزایش سرعت باد و شکل‌دهی جریاناتی از شمال غرب به سمت جنوب شرق ایران شده است. با توجه به نقشه جریانات تراز ۳۰۰ هکتوپاسکال می‌توان مشاهده کرد که وجود پرفشار عربستان در جنوب غرب و یک کم‌فشار حرارتی در شمال غرب منطقه مورد مطالعه با حرکات خود باعث همگرایی جریانات و افزایش سرعت باد شده‌اند (شکل ۵، ب). مشاهده نقشه‌های ردیابی نشان می‌دهد که طی این روز (۲ نوامبر) مبدأ ذرات غباری در مسیر A و در ارتفاع ۲۰۰ متری از لحاظ ارتفاعی به نسبت روزهای دیگر در سطوح پایین‌تری (کمتر از ۵۰۰ متر) حرکت خود را از چشمی گردوغبار به سمت منطقه موردمطالعه آغاز نموده است. در مسیر A مبدأ ذرات بیابان‌های مرکزی و غرب عراق بوده است؛ و مبدأ ذرات مسیرهای B و C شمال عربستان و جنوب عراق بوده است که در ارتفاع ۱۰۰۰ و ۱۵۰۰ متر به غرب ایران رسیده است. منشاء هر سه سطح ارتفاعی گردوغبار شهر کرمانشاه، کشورهای همسایه بوده‌اند. به همین دلیل است که پیک اصلی یا بیشترین غلظت PM_{10} ۱۰۳۳/۷ میکروگرم بر مترمکعب در این توفان به ثبت رسیده است و تعداد ساعت‌های دوام این توفان به ۱۷ ساعت در این روز رسیده است. عامل اصلی نزول ذرات بر روی ایران کمتر شدن اثر جریانات سیکلونی و حاکمیت پرفشار بوده است (شکل ۵، ج).



شکل ۵: (الف) فشار سطح دریا؛ (ب) جریان باد تراز ۳۰۰؛ (ج) نقشه ردیابی ذرات گردوغبار HYSPLIT روز ۲ نوامبر ۲۰۱۷

نقشه فشار تراز دریا در (شکل ۶، الف) روز ۲۷ اکتبر ۱۸ را در نشان می‌دهد. همان‌طور که در این نقشه پیداست، در این روز سیستم کم‌فشار حرارتی با فشار ۱۰۱۸/۵ هکتوپاسکال همچنان در سطح منطقه فعال می‌باشد و زبانه‌های آن به منطقه مورد مطالعه نفوذ کرده است؛ اما در شمال غرب این کم‌فشار، پرفشاری با ۱۰۲۷/۵ هکتوپاسکال بر روی ترکیه مستقر است که باعث ایجاد شیب فشاری متأثر از جریانات پرفشاری عرض‌های بالاتر شده است این اختلاف فشار باعث افزایش سرعت باد و شکل‌دهی جریاناتی از شمال غرب به سمت جنوب شرق ایران شده است. با توجه به نقشه جریانات تراز ۳۰۰ هکتوپاسکال می‌توان مشاهده کرد که وجود پرفشار عربستان در جنوب غرب و یک کم فشار حرارتی در شمال غرب منطقه مورد مطالعه با حرکات خود باعث همگرایی جریانات و افزایش سرعت باد شده‌اند (شکل ۶، ب). مشاهده نقشه‌های رديابی نشان می‌دهد که طی این روز (۲۷ اکتبر) مبدأ ذرات غباری در دو مسیر A و B در ارتفاع‌های ۲۰۰۰ متری و ۱۰۰۰ متری از لحاظ ارتفاعی به نسبت روزهای دیگر در سطوح پایین‌تری (کمتر از ۵۰۰ متر) حرکت خود را از چشممه گردوغبار به سمت منطقه مورد مطالعه آغاز نموده‌اند. با این تفاوت که در مسیر A مبدأ ذرات شمال عربستان و کویت و جنوب عراق بوده است و مبدأ ذرات مسیر B داخل خاک سوریه و در بیابان‌های غرب و مرکزی عراق قرار دارد؛ اما مبدأ گردوغبار مسیر C منطبق بر جریانات باد می‌باشد که از بیابان‌های سوریه آغاز و با عبور از بیابان‌های غربی و مرکزی عراق، در ارتفاع ۱۰۰۰ متر به غرب ایران رسیده است. منشأ هر سه سطح ارتفاعی گردوغبار شهر کرمانشاه، کشورهای همسایه بوده‌اند. به همین دلیل است که پیک اصلی یا بیشترین غلظت PM_{10} ۲۴۱۹ میکروگرم بر مترمکعب در این توفان به ثبت رسیده است و تعداد ساعت‌های دوام این طوفان به ۲۲ ساعت در این روز رسیده است (شکل ۶، ج).



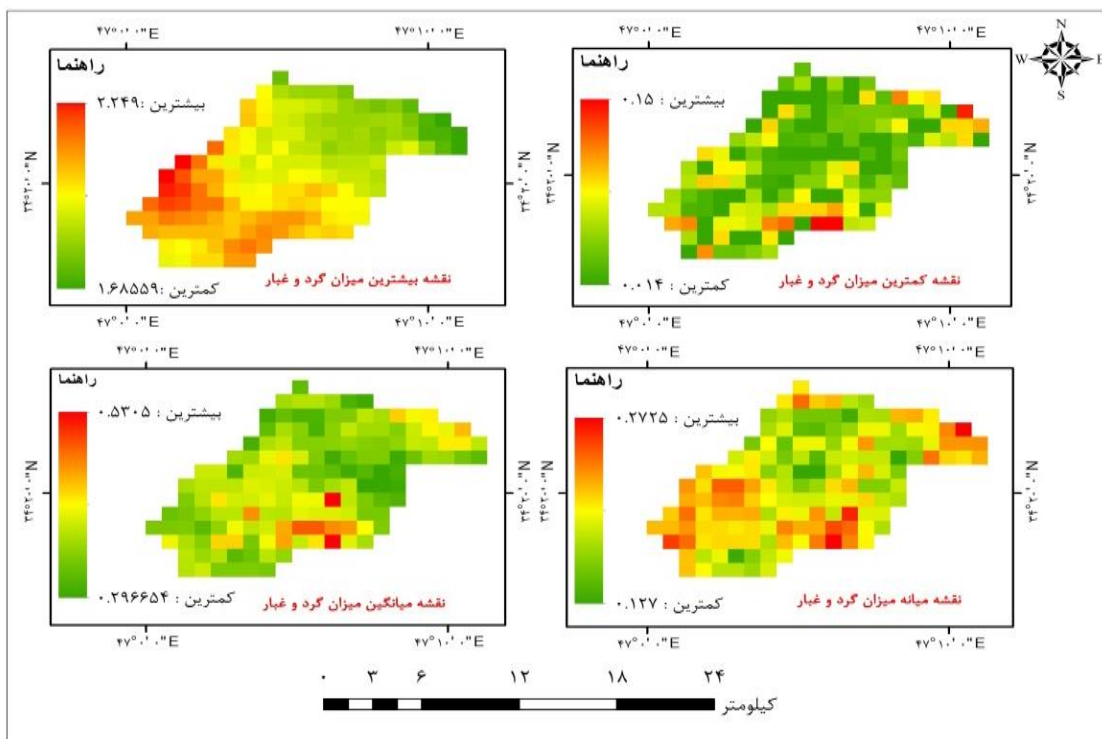
شکل ۶: (الف) فشار سطح دریا؛ (ب) جریان باد تراز ۳۰۰؛ (ج) نقشه رديابي ذرات گردوغبار HYSPLIT روز ۲۷ اکتبر ۲۰۱۸

• نقشه‌های مستخرج از پروداکت MCD19A2

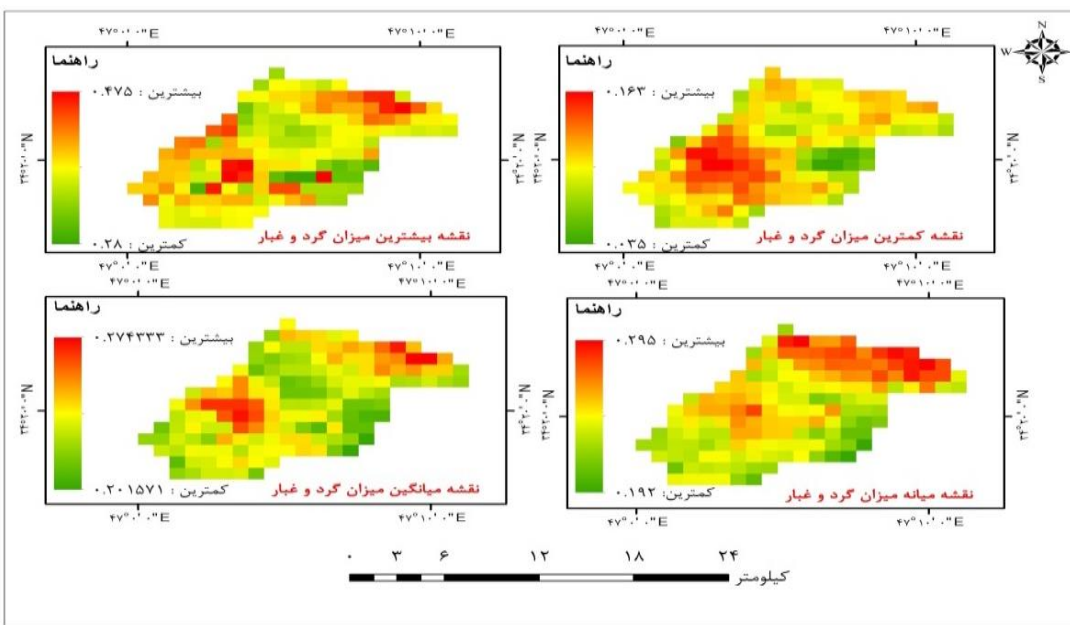
پس از پردازش تصاویر حاصل سنجنده‌ی مودیس در سامانه GEE نهایتاً نقشه‌های مستخرج از پروداکت AOD برای سال‌های ۲۰۱۶، ۲۰۱۷، ۲۰۱۸ و ۲۰۱۹ آماده‌سازی شدند.

یافته‌های حاصل نقشه‌های آماری حاکی از آن است که در سال ۲۰۱۶ بیشترین میزان گردوغبار در مناطق جنوب و جنوب‌غربی بوده است. در این راستا در نقشه‌ی کمترین میزان گردوغبار در سال ۲۰۱۶ اکثر مناطق شهر کرمانشاه غیر از مناطق محدودی میزان AOD کمی داشته‌اند. از نظر میانگین میزان گردوغبار شرق شهر و از نظر میانه هم غیر از مراکز شهر بقیه‌ی مناطق میزان AOD نسبتاً بیشتر بوده است (شکل ۷، الف). از طرفی در سال ۲۰۱۷ میزان بیشترین میزان گردوغبار

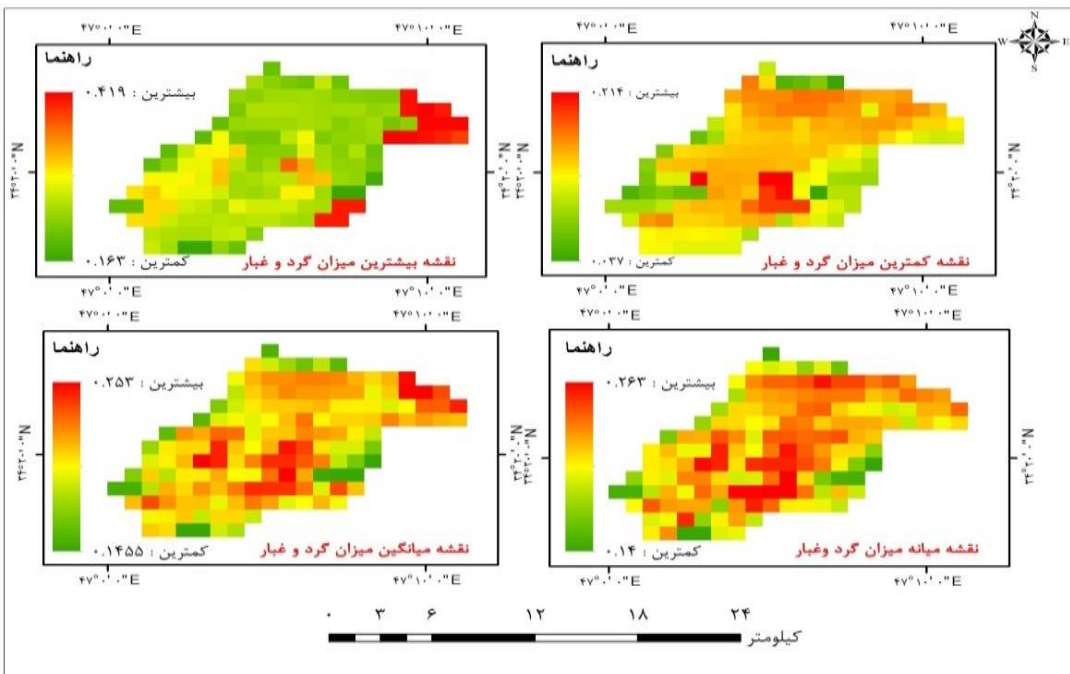
مربوط به مناطق مرکز، شمال شرق و قسمت‌های محدودی از غرب شهر کرمانشاه بوده است. همچنین نقشه‌ی کمترین میزان گرد و غبار نشان دهنده‌ی این است که غیر از مناطق مرکزی، بقیه مناطق شهر تقریباً با میزان AOD کمتری مواجه بوده‌اند. در این میان نقشه‌های میانگین و میانه گرد و غبار به ترتیب نشان دهنده‌ی این است که مراکز شهر و شمال شرق بیشتر از دیگر مناطق آلودگی داشته‌اند (شکل ۷، ب). نقشه‌ی بیشترین میزان گرد و غبار در سال ۲۰۱۸ نشان دهنده‌ی این است که بیشترین میزان AOD مربوط به مناطق شرق و شمال شرق است. نقشه‌ی کمترین میزان گرد و غبار هم حاکی از آن است که بیشترین میزان AOD به ترتیب در مناطق حاشیه‌ی شهر و پس از آن مناطق مرکزی شهر ثبت شده است. در این راستا نقشه‌ی میانگین و میانه نشان دهنده‌ی این است که مراکز شهر و شمال شرق AOD های بیشتری را تجربه کرده‌اند (شکل ۷، ج).



(الف)



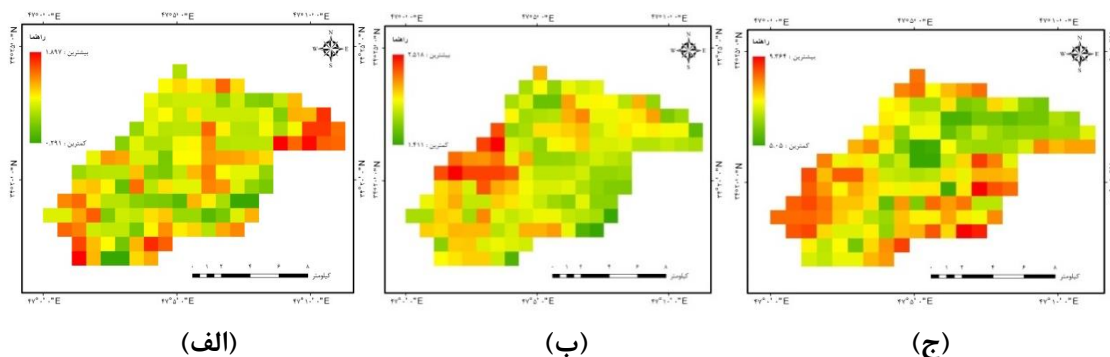
(ب)



(ج)

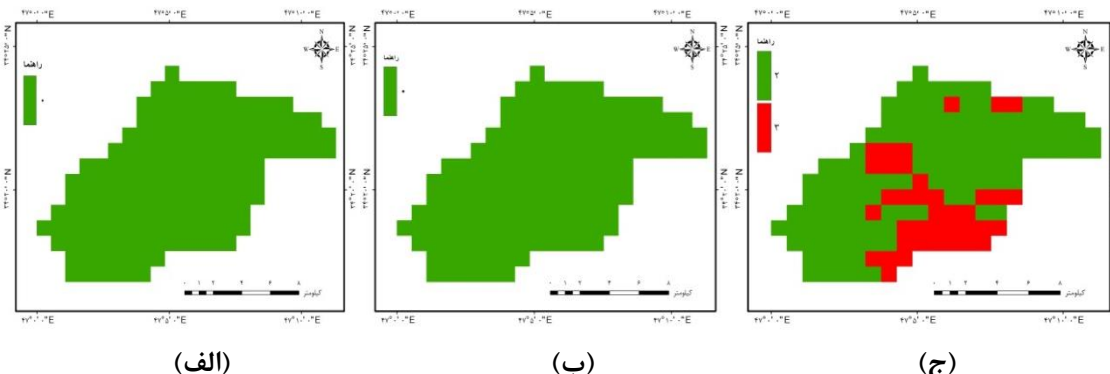
شکل ۷: نقشه‌های آماری AOD مربوط به سال‌های (الف): ۲۰۱۶، (ب): ۲۰۱۷ و (ج): ۲۰۱۸ حاصل از تصاویر مودیس

در ادامه (شکل ۸) نقشه‌های مربوط به غلظت تجمعی، تناوب رخداد و تغییرات مکانی AOD به ترتیب برای سال‌های ۲۰۱۶، ۲۰۱۷ و ۲۰۱۸ نشان داده شده است.



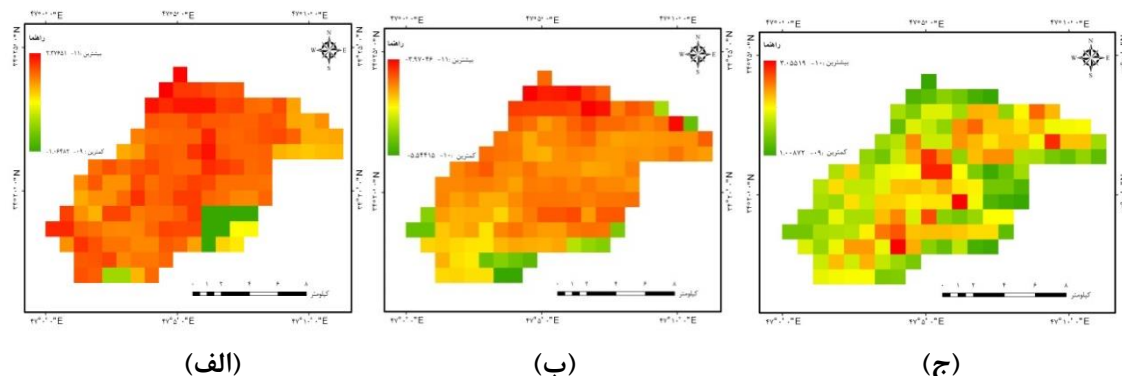
شکل ۸: نقشه غلظت تجمعی AOD مربوط به سال‌های (الف): ۲۰۱۶، (ب): ۲۰۱۷ و (ج): ۲۰۱۸ حاصل از تصاویر مودیس

یافته‌های حاصل از نقشه‌های غلظت تجمعی (شکل ۸، الف) حاکی از آن است که گردوغبار ایجاد شده در سال ۲۰۱۶ بیشتر در حاشیه‌های شهر بوده و در این مناطق میزان تراکم و غلظت AOD نسبت به مناطق مرکزی شهر و شمال شرق بیشتر است. این در حالی است که در طوفان رخ داده در سال ۲۰۱۷ (شکل ۸، ب) غلظت و تراکم گردوغبار در غرب شهر بیشتر از مناطق دیگر بوده و پس از آن مناطق جنوبی و جنوب غرب بیشترین میزان غلظت و تراکم AOD در مناطق شمال شرق، نقشه‌ی غلظت گردوغبار ۲۰۱۸ (شکل ۸، ج) حاکی از آن است که بیشترین میزان غلظت و تراکم AOD در مناطق مرکزی، قسمت محدودی از مناطق مرکزی و جنوب غربی اتفاق افتاده است و مناطق فوق بیشتر از مناطق دیگر آلودگی را تجربه کرده‌اند.



شکل ۹: نقشه تناوب رخداد AOD مربوط به سال‌های (الف): ۲۰۱۶، (ب): ۲۰۱۷ و (ج): ۲۰۱۸ حاصل از تصاویر مودیس

همان‌طور که در (شکل ۹) مشاهده می‌شود نقشه‌های تناوب رخداد برای هر کدام از طوفان‌های گردوغبار سال‌های ۲۰۱۷، ۲۰۱۶ و ۲۰۱۸ نشان داده شده است. یافته‌های این بخش از پژوهش حاکی از آن است که در سال ۲۰۱۶ (شکل ۹، الف) مناطق مرکزی، جنوب شرق و قسمت محدودی از شمال شهر کرمانشاه حداقل ۳ بار دیگر مناطق شهر حداقل ۲ بار رخداد گردوغبار در آن اتفاق افتاده است. به این معنی که در مناطق فوق، در طول بازه‌ی مدنظر یعنی ۱۵ خرداد تا ۲۹ خرداد، رخداد گردوغبار در آن‌ها تکرار شده و به طور کلی پیکسل‌هایی که مقدار AOD های بالای ۵/۰ داشته‌اند ۲ و ۳ بار گردوغبار را تجربه کرده‌اند. از طرف دیگر همان‌طور که در قسمت‌های (شکل ۹، ب و ج) که به ترتیب مربوط به سال‌های ۲۰۱۷ و ۲۰۱۸ است رخداد گردوغبار بدون تکرار بوده و تنها یک بار پیکسل‌هایی با مقادیر بالای ۵/۰ در آن‌ها ثبت شده است.



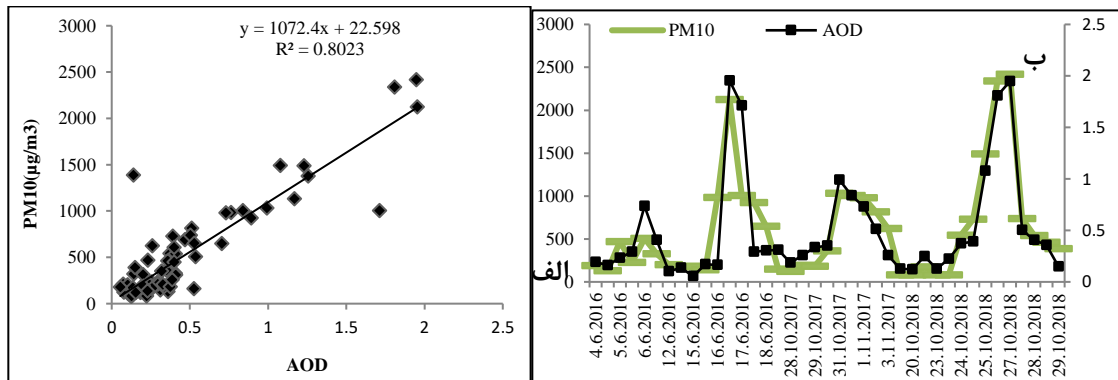
شکل ۱۰: نقشه تغییرات مکانی AOD مربوط به سال های (الف): ۲۰۱۶، (ب): ۲۰۱۷ و (ج): ۲۰۱۸ حاصل از تصاویر مودیس

همان طور که در قسمت (شکل ۱۰، الف) نشان داده شده است، مناطق حاشیه‌ای شهر از نظر مقدار AOD در طول زمان روند کاهشی را داشته و در این راستا مناطق مرکزی شهر در طول زمان روند افزایشی را تجربه کرده است. در این راستا علاوه بر مناطق مرکزی، قسمت‌هایی از شمال شرق شهر نیز روند افزایشی قابل استناد است. به‌طور کلی با توجه به راهنمای نقشه میزان AOD در مناطق حاشیه‌ای نیز زیاد است اما نسبت به مناطق مرکزی شهر میزان گردوغبار روند کاهشی را داشته‌اند. همچنان در (شکل ۱۰، ب) با توجه به راهنمای نقشه و بازه‌ی مقادیر ثبت شده میزان AOD در سطح شهر چندان قابل توجه نیست اما به‌طور کلی نتایج حاکی از آن است که غیر از قسمت‌های محدودی از جنوب، جنوب‌شرق، جنوب‌غرب و شمال‌شرق، بقیه‌ی مناطق شهر از نظر میزان AOD روند افزایشی داشته و در این میان مناطق شمال و شمال‌غرب در طول زمان بیشتر از دیگر مناطق روند افزایشی را تجربه کرده‌اند. در نهایت با توجه به نقشه‌ی تغییرات مکانی سال ۲۰۱۸ (شکل ۱۰، ج) یافته‌ها نشان‌دهنده‌ی این است که میزان AOD فقط در قسمت‌های محدودی یعنی جنوب، شرق، جنوب‌شرق و به صورت محدود در شمال شرق در طول زمان میزان گردوغبار روند کاهشی را داشته‌اند و دیگر مناطق شهر خصوصاً مرکز، جنوب‌غرب و شمال شهر در بازه‌ی زمانی روند میزان گردوغبار افزایشی و به‌طور کلی قابل توجه بوده است.

نتایج ارزیابی صحت

در پژوهش حاضر داده‌های واقعی PM₁₀ از ایستگاه‌های پایش آلودگی سازمان محیط‌زیست استان کرمانشاه دریافت شد و همچنین مقادیر AOD از ماهواره MODIS برای هر سه طوفان گردوغبار مورد مطالعه در تاریخ‌های ۱۷ ژوئن ۲۰۱۶، ۲ نوامبر ۲۰۱۷ و ۲۷ اکتبر ۲۰۱۸ به دست آمد. به طور کلی همان‌طور که در (شکل ۱۱، ب) مشاهده می‌شود همبستگی بسیار خوبی بین PM₁₀ داده‌های واقعی و مقادیر AOD مشتق شده از ماهواره MODIS ($R^2 = 0.8$) در منطقه مورد مطالعه وجود دارد. (شکل ۱۱، الف) نمودار پراکندگی AOD در مقابل PM₁₀ را برای ماههای ژوئن ۲۰۱۶، نوامبر ۲۰۱۷ و اکتبر ۲۰۱۸ نشان می‌دهد. بیشترین میانگین مقادیر AOD روزانه طی سه رویداد مهم گردوغبار به ترتیب ۱/۹۷، ۱/۹۵ و ۱/۹۵ است. در پژوهش‌های مشابهی که توسط دی و همکاران (Dey, et al, ۲۰۰۴) گزارش شده، نشان‌دهنده AOD بالا در توفان‌های گردوغبار است. بعد از آن برای دهلی‌نو (Sharma et al, ۲۰۱۲) و (Alam et al, ۲۰۱۴) در خاور میانه و جنوب غرب آسیا پژوهش‌هایی،

صورت گرفته است؛ بنابراین، بررسی ویژگی‌های نوری ساعتی ممکن است علائم قابل توجهی را قبل از وقوع طوفان‌های شدید گردوغبار در مطالعات آینده پیدا کند.



شکل ۱۱: (الف) سری زمانی PM^{10} و MODIS AOD بیش از کرمانشاه برای سه رویداد مهم توفان گردوغبار در ۱۷ ژوئن ۲۰۱۶، ۲۰۱۷ و ۲۰۱۸ اکتبر. (ب) پراکندگی PM^{10} و AOD

بر اساس نتایج حاصل از تحلیل نقشه‌های سینوپتیک درواقع عامل اصلی ایجاد کننده‌ی پدیده‌ی موج گردوغبار طی روزهای مورد مطالعه در تاریخ‌های ۱۷ ژوئن ۲۰۱۶، ۲ نوامبر ۲۰۱۷ و ۲۷ اکتبر ۲۰۱۸ در شهر کرمانشاه، علاوه بر ناپایداری ایجاد شده توسط کم‌فشارهای حرارتی سطح زمین، تحرکات پرفشار عربستان که باعث همگرایی جریانات به سمت غرب شده‌اند، استقرار یک بریده کم‌فشار در سطوح میانی جو در این رخداد به خوبی نمایان است به‌طوری‌که با وجود ناپایداری در تراز میانی جو، عدم وجود رطوبت کافی در سامانه‌های منتقل شده به غرب کشور، عبور جریانات از بیابان‌های عراق، سوریه و عربستان عدم رطوبت کافی چه در سطح و چه در عمق خاک در داخل کشور و در کشورهای همسایه موجب شکل‌گیری HYSPLIT چشمۀ گردوغبار و انتقال آن به منطقه مورد مطالعه گردیده است. همچنین بررسی نقشه‌های ردیابی حاصل از مدل نشان می‌دهد که دو مسیر کلی برای انتقال گردوغبار به منطقه مورد مطالعه عمل انتقال گردوغبار به نیمه غربی ایران را انجام می‌دهد؛ این مسیر را می‌توان ورود گردوغبار به منطقه در ۳ ارتفاع ۲۰۰، ۱۰۰۰ تا ۱۵۰۰ متری در روزهای ۱۷ ژوئن ۲۰۱۶ و ۲۷ اکتبر ۲۰۱۸ دانست. در واقع با توجه به مسیر شمال‌غربی و جنوب‌شرقی طوفان‌های گردوغبار، می‌توان با نتایج نقشه‌ی تناوب رخداد در سال ۲۰۱۶ ارتباط مستقیم برقرار نمود؛ به این صورت که در نقشه‌ی حاصله دقیقاً هرچه از مسیر شمال‌غرب به جنوب‌شرق شهر کرمانشاه حرکت کنیم، قابل استناد است که تعداد رخدادهای گردوغباری نیز بیشتر شده است. همچنین یافته‌های حاصل از نقشه‌های آماری، غلظت تجمعی و تغییرات مکانی سال ۲۰۱۶ و ۲۰۱۸ نیز تا حد زیاد با مسیر و روند حرکتی طوفان فوق ارتباط نسبتاً مستقیمی دارد. به این صورت که با توجه به جهت و مسیر گردوغبار، یافته‌های حاصل از نقشه‌های AOD نیز نشان‌دهنده‌ی این است که مناطق شرقی شهر به‌طور کلی میزان گردوغبار بیشتری را تجربه کرده‌اند. در این راستا هرچند گاه‌آ در بخشی از خروجی‌ها مناطق شمال‌شرق شهر نیز میزان AOD‌های قابل توجهی

مشاهده می‌شود که علت این امر می‌تواند جهت باد غالب در شهر کرمانشاه یعنی مسیر غربی - شرقی باشد که بر روند اصلی مسیر گردوغبار (شمال‌غربی-جنوب‌شرقی) تأثیر گذاشته است. ۲- مسیر جنوب‌غرب به غرب ایران و شهر کرمانشاه که در هر سه ارتفاع ۲۰۰۰، ۱۵۰۰ و ۱۰۰۰ متری که سرچشمۀ اصلی گردوغبار در روز ۲ نوامبر ۲۰۱۷ می‌باشد، منبع ذرات این مسیر کویت، شمال عربستان و بخشی از عراق می‌باشد. بررسی مسیر ذرات نشان می‌دهد که این ذرات ابتدا توسط سامانه‌های کم‌فشار مستقر در منطقه به سطوح بالاتر منتقل شده است. در این راستا با توجه به نتایج حاصل از نقشه‌های AOD مستخرج از پروداکت MCD^{۱۹A۲} برای سال ۲۰۱۷ می‌توان ارتباط نسبتاً مستقیمی بین جهت مسیر گردوغبار و نقشه‌های حاصله برقرار نمود. به این صورت که یافته‌های نقشه‌های آماری و غلظت تجمعی حاکی از آن است که میزان AOD در مناطق غرب شهر کرمانشاه همواره بیشتر از دیگر مناطق است. در این میان با توجه به مسیر حرکت طوفان گردوغبار که منشأ آن جهت جنوب غربی به طرف غرب ایران بوده و یافته‌های نقشه‌ی تغییرات مکانی که هرچه از جنوب غرب به سمت مرکز و شمال شرق حرکت کنیم میزان AOD نیز بیشتر شده؛ می‌توان ارتباط مستقیمی بین نتایج حاصله برقرار نمود.

در این میان در کنار همبستگی نتایج حاصل از نقشه‌های حاصله در سال‌های ۲۰۱۶، ۲۰۱۷ و ۲۰۱۸ و همچنین مسیر و جهت گردوغبار در بازه‌های زمانی فوق، ارتباط تنگاتنگ و بالایی نیز بین مقدار AOD های مستخرج از پروداکت MCD^{۱۹A۲} سنجنده مودیس و داده‌های PM^{۱۰} برگرفته شده از ایستگاه‌های میدانی برقرار است. به طور کلی بر اساس یافته‌های حاصل از نقشه‌های آماری، غلظت تجمعی، تناوب رخداد و تغییرات مکانی مستخرج از پروداکت MCD^{۱۹A۲} سنجنده مودیس طی بازه‌ی زمانی ۴ تا ۱۸ ژوئن ۲۰۱۶، ۲۰۱۷ و ۲۰۱۸ از شهر کرمانشاه، مناطق مرکزی و شرقی همواره بیشتر از دیگر مناطق شهر درگیر طوفان گردوغبار هستند. به این صورت که این مناطق به صورت متوسط، نسبت به دیگر مناطق شهر بیشتر با آلدگی ناشی از گردوغبار مواجه هستند. اگرچه در پژوهش‌های داخلی کمتر از محصولات سنجنده مودیس مانند MCD^{۱۹A۲} استفاده شده اما مطالعات خارج از کشور همانند سورک هامر و همکاران، کلینگمولر و همکاران و اندک مطالعات داخلی نشان‌دهنده‌ی این است که این پروداکت نتایج قابل قبول داشته و امکان مطالعه‌ی سریع و با دقت بالا را فراهم می‌کند (Sorek-Hamer, et al; ۲۰۱۵,; Klingmüller, et al; ۲۰۱۶). با توجه به یافته‌های حاصل از این پژوهش و همبستگی بالا بین نتایج حاصل از خروجی‌ها قابل استناد است که استفاده از پروداکت MCD^{۱۹A۲} سنجنده مودیس بسیار کارآمد و در این راستا پردازش این تصاویر در سامانه‌ی گوگل ارث انجین هم از نظر زمانی و هم از نظر دقت می‌تواند بهینه باشد. در همین راستا مطالعات گوناگونی که با بهره‌گیری از داده‌های AOD سنجنده مودیس که در محیط GEE انجام گرفته و همچنین مطالعاتی که با بهره‌گیری از مدل HYSPLIT برای مسیریابی طوفان‌های گردوغبار انجام گرفته نتایج حاصل از این پژوهش را مورد تائید قرار می‌گیرد. به این منظور نتایج (محمدی و ریگی چاهی، ۲۰۱۹) و رنجان و همکاران و بلورانی و همکاران (Ranjan,et al, ۲۰۲۰; Boloorani, et al, ۲۰۲۱) که هر کدام به صورت مستقیم و غیرمستقیم از پروداکت AOD سنجنده مودیس و پردازشگر گوگل ارث انجین استفاده کرده بودند نتایج حاصل از این پژوهش را مورد تائید قرار می‌دهد. همچنین پژوهش‌های دیگری مانند مطالعات دانگ و دای و گودی و میدلتون نیز در سراسر جهان جهت تعیین منشأ و مناطق تحت پوشش گردوغبار با استفاده داده‌های سنجش‌از دور انجام گرفته که حاکی از آن است که پروداکت AOD سنجنده مودیس می‌تواند به طور نسبتاً دقیق مناطق تحت سیطره‌ی گردوغبار را شناسایی کند (Goudie ۲۰۰۰ ;

(Dong and Dai, ۲۰۱۳ and Middleton, ۱۳۹۹) که با استفاده از پروداکت AOD سنجنده‌ی مودیس در سامانه GEE به ارزیابی پدیده گردوغبار با تأکید بر سمت و سرعت باد پرداخته بودند، نتایج پژوهش (علیزاده و همکاران، ۱۴۰۰) که در آن به ردیابی و شبیه‌سازی عددی طوفان گردوغبار در شهر کرمانشاه پرداخته و بررسی نقشه‌های ردیابی HYSPLIT نشان از این موضوع که بیابان‌های مرکزی و غربی عراق و صحرای سوریه کانون‌های اصلی گردوغبار برای منطقه موردمطالعه بودند نیز با نتایج حاصل از این پژوهش همخوانی بالایی دارند. در این میان در کنار نتایج قابل قبول پروداکت AOD سنجنده‌ی مودیس در پایش و ارزیابی طوفان‌های گردوغبار در سطح جهان، مطالعات انجام‌گرفته در صحت سنجی این پروداکت با داده‌های زمینی PM₁₀ مانند پژوهش‌های سیلاخوری و همکاران و مورکرت نیز نشان‌دهنده‌ی دقت مناسب پروداکت فوق در برآورد میزان غلظت گردوغبار است (Silakhori et al, ۲۰۱۸ Morcrette, ۲۰۰۹). همان‌طور که از مقایسه‌ی نتایج پژوهش‌های انجام‌شده با نتایج حاضر از این تحقیق مشخص است، یافته‌های بهدست‌آمده ارتباط و همخوانی بالایی دارند. هرچند این مطلب بارها در تحقیقات گوناگونی به اثبات رسیده، اما چنین وضعیتی نیازمند تلاش برای حل این مشکل بهصورت فرا منطقه‌ای است، نه اینکه لزوماً تنها در سطح ایران و شهر کرمانشاه بر آن تأکید شود.

نتیجه‌گیری

قرارگیری ایران در منطقه گرم و خشک کره زمین و مجاورت با بیابان‌های جنوب حاره مانند عراق، سوریه و عربستان باعث به وجود آمدن مداوم مخاطره گردوغبار در نیمه غربی ایران شده است. در این راستا منطقه کرمانشاه در غرب ایران به دلیل نزدیکی به بیابان‌های کشورهای مجاور همواره در معرض رخدادهای گردوغباری متعدد است. در این تحقیق بهمنظور بررسی تغییرات زمانی و مکانی مهمترین و شدیدترین طوفان‌های گردوغبار در کلان‌شهر کرمانشاه طی بازه‌ی زمانی ۲۰۱۶ تا ۲۰۱۸ از مدل مسیریابی HYSPLIT و پروداکت آماده‌ی MCD_{۹A۲} سنجنده‌ی مودیس در سامانه‌ی تحت وب گوگل ارث انجین بهره گرفته شد. نتایج این پژوهش حاکی از آن است که در سه رویداد مهم طوفان گردوغبار در روزهای ۱۷ ژوئن و ۲۰۱۶ و ۲۷ اکتبر ۲۰۱۸ منشا آن بیابان‌های عراق و سوریه و ۲ نوامبر ۲۰۱۷ سرچشمه اصلی مسیر کویت، شمال عربستان و بخشی از عراق بوده است. همچنین نتایج نقشه‌های مستخرج از پروداکت MCD_{۹A۲} سنجنده مودیس (نقشه‌های آماری، غلظت تجمعی، تناوب رخداد و تغییرات مکانی) نشان‌دهنده این است که طی بازه‌ی زمانی ۲۰۱۶ تا ۲۰۱۸ در شهر کرمانشاه همواره مناطق مرکزی و شرقی به طور متوسط نسبت به مناطق دیگر شهر بیشتر با آسودگی ناشی از گردوغبار مواجه بوده‌اند. در این میان در کنار همبستگی بالا بین خروجی‌های مسیریابی، نقشه‌های مستخرج از تصاویر سنجنده مودیس و داده‌های PM₁₀، یافته‌های این پژوهش دقت، سرعت و توانایی بالای سامانه‌ی تحت وب گوگل ارث انجین (GEE) را پردازش تصاویر سنجنده‌ی مودیس جهت ارزیابی و پایش سریع ذرات گرد و غبار نشان می‌دهد. به طور کلی گستردگی بیابان‌های وسیع خاستگاه گردوغبار، بیابان‌زایی رو به رشد، خشک‌سالی‌های مداوم و نقش عوامل انسانی در مدیریت نابخردانه سرزمین، رویدادهای گردوغباری در غرب ایران را به چالش زیست‌محیطی کنترل ناپذیر تبدیل کرده است.

منابع

- ارجمند، مریم؛ علیرضا راشکی و حسین سرگزی. ۱۳۹۷. پایش زمانی و مکانی پدیده گردوغبار با استفاده از داده‌های ماهواره‌ای در جنوب شرق ایران، با تأکید بر منطقه جازموریان. *فصلنامه علمی-پژوهشی اطلاعات جغرافیایی سپه* (۱۰۶): ۱۵۳-۱۶۸.
- رسوی زاده، سمانه؛ حمیدرضا عباسی و فاطمه درگاهیان. ۱۴۰۰. بررسی پدیده گردوغبار در استان گلستان، با تأکید بر شاخص عمق اپتیکی و سمت و سرعت باد. *مجله علوم و مهندسی آبخیزداری ایران*، (۵۳)۱۵: ۶۷-۵۸.
- شمیزی‌پور، علی‌اکبر و طاهر صفر راد. ۱۳۹۱. تحلیل ماهواره‌ای - همدیدی پدیده گردوغبار تیرماه ۱۳۸۸. *مجله پژوهش‌های جغرافیای طبیعی*، شماره ۷۹: ۱۱۱-۱۲۶.
- علیزاده، طوبی، مجید رضایی بنفسه؛ غلامرضا گودرزی و سیدهدایت شیخ قادری. ۱۴۰۰. ردبایی و شبیه‌سازی عددی طوفان گردوغبار در شهر کرمانشاه، نشریه مدیریت بیانان، (۲)۹: ۱-۱۴.
- فاطمی، سیدیاقر و یوسف رضایی. ۱۳۹۶. مبانی سنجش‌ازدرو، چاپ پنجم، انتشارات آزاده، تهران.
- میری، مرتضی. ۱۳۹۰. واکاوی - همدیدی پدیده گردوغبار در نیمه غربی ایران، پایان‌نامه کارشناسی ارشد، دانشکده جغرافیا، دانشگاه تهران.
- ناصرپور، سمیه؛ بهلول علیجانی و پرویز ضیائیان. ۱۳۹۴. متشابهی توفان‌های گردوغبار در جنوب غرب ایران با استفاده از تصاویر ماهواره‌ای و نقشه‌های هوایی. *پژوهش‌های جغرافیای طبیعی (پژوهش‌های جغرافیایی)*، (۱)۴۷: ۳۶-۲۱.
- Alam, K., T. Trautmann., T. Blaschke., and F. Subhan., ۲۰۱۴. Changes in aerosol optical properties due to dust storms in the Middle East and Southwest Asia. *Remote Sensing of Environment*, ۱۴۳: ۲۱۶-۲۲۷.
- Amani, M., S. Mahdavi., M. Afshar., B. Brisco., W. Huang., S. Mohammad Javad Mirzadeh., and C. Hopkinson. ۲۰۱۹. Canadian wetland inventory using Google Earth engine: the first map and preliminary results. *Remote Sensing*, ۱۱ (۷): ۸۴۲.
- Behyar, M.B., ۲۰۱۵. Zoning the Degree of Risk of Fog and Dust Storms in the Country's road Network using Satellite data. *Geographical Research Quarterly*, ۴۰(۲): ۱۰۵-۱۲۵.
- Boloorani, A.D., N.N. Samany., R. Papi and M. Soleimani. ۲۰۲۱. Dust source susceptibility mapping in Tigris and Euphrates basin using remotely sensed imagery. *CATENA*, ۹۰: ۱۰۵۷۹۵.
- Dey, S., S.N. Tripathi., R.P. Singh and B.N. Holben. ۲۰۰۴. Influence of dust storms on the aerosol optical properties over the Indo- Gangetic basin. *Journal of Geophysical Research: Atmospheres*, 109(20): 13-1.
- Dong, Z., X. Yu., X. Li and J. Dai. ۲۰۱۳. Analysis of variation trends and causes of aerosol optical depth in Shaanxi Province using MODIS data. *Chinese Science Bulletin*, 58(35): 4486-4496.
- Gorelick, N., M. Hancher., M. Dixon., S. Ilyushchenko., D. Thau and R. Moore. ۲۰۱۷. Google Earth Engine: Planetary-scale geospatial analysis for everyone. *Remote sensing of Environment*, 202: 18-27.
- Goudie, A.S and N.J. Middleton. ۲۰۰۰. *Dust storms in southwest Asia*. Acta Universitatis Carolinae, Supplement, 7383.
- Goudie, A.S and N.J. Middleton. ۲۰۰۱. Saharan dust storms: nature and consequences. *Earth-science reviews*, 56(1-4): 179-204.
- Ichoku, C., L. A. Remer., Y. J. Kaufman., R. Levy., D. A. Chu., D. Tanré and B. N. Holben. ۲۰۰۳. MODIS observation of aerosols and estimation of aerosol radiative forcing over southern Africa during SAFARI ۲۰۰۰. *Journal of geophysical research: atmospheres*, 108 (13).
- Kaskaoutis, D. G., P. Kosmopoulos. H. D. Kambezidis and P. T. Nastas. ۲۰۰۷. Aerosol climatology and discrimination of different types over Athens, Greece, based on MODIS data. *Atmospheric Environment*, 41(34): 7315-7329.
- Klingmüller, K., A. Pozzer., S. Metzger., G.L. Stenchikov and J. Lelieveld. ۲۰۱۶. Aerosol optical depth trend over the Middle East. *Atmospheric Chemistry and Physics*, 16(8): 5063-5073.
- Kumar, L and O. Mutanga. ۲۰۱۸. Google Earth Engine applications since inception: Usage, trends, and potential. *Remote Sensing*, 10(10): 1009.
- Lin, C., Y. Li., A.K. Lau., X. Deng., K. Tim., J.C. Fung., C. Li., Z. Li., X. Lu and X. Zhang. ۲۰۱۶. Estimation of long-term population exposure to PM_{2.5} for dense urban areas using 1-km MODIS data. *Remote Sensing of Environment*, 179: 13-22.

- Lyapustin, A and Y. Wang. ۲۰۱۸. MODIS Multi-Angle Implementation of Atmospheric Correction (MAIAC) Data User's Guide. NASA: Greenbelt, MD, USA.
- Mehta, M., R. Singh. A. Singh and N. Singh. ۲۰۱۶. Recent global aerosol optical depth variations and trends- A comparative study using MODIS and MISR level ۳ datasets. *Remote Sensing of Environment*, ۱۸۱: ۱۳۷-۱۵۱.
- Mahmoudi, P and C.H. Allahbakhsh Rigi. ۲۰۱۹. Analyzing the time series changes trend of the Aerosol Optical Depth (AOD) index of Terra satellite's MODIS sensor for Jazmorian basin in the southeast of Iran during.
- Morcrette, J. J., O. Boucher., L. Jones., D. Salmond., P. Bechtold., A. Beljaars and A. Untch. ۲۰۰۹. Aerosol analysis and forecast in the European Centre for medium-range weather forecasts integrated forecast system: Forward modeling. *Journal of Geophysical Research: Atmospheres*, ۱۱۴(۱): ۱۷-۱.
- Namdari, S., K. K. Valizade., A. A. Rasuly and B. S. Sarraf. ۲۰۱۶. Spatio-temporal analysis of MODIS AOD over western part of Iran. *Arabian Journal of Geosciences*, ۹(۳): ۱۹۱.
- Qi, Y., J. Ge and J. Huang. ۲۰۱۳. Spatial and temporal distribution of MODIS and MISR aerosol optical depth over northern China and comparison with AERONET. *Chinese Science Bulletin*, ۵۸(۹۴): ۲۴۹۷-۲۵۰۷.
- Rashki, A., D.G. Kaskaoutis., P.G. Eriksson., C.D.W. Rautenbach., C. Flamant and F. A. Vishkaee. ۲۰۱۴. Spatio-temporal variability of dust aerosols over the Sistan region in Iran based on satellite observations. *Natural hazards*, ۷۱(۱): ۵۶۳-۵۸۵.
- Ranjan, A. K., A. K. Patra and A. K. Gorai. (۲۰۲۰). Effect of lockdown due to SARS COVID-۱۹ on aerosol optical depth (AOD) over urban and mining regions in India. *Science of the Total Environment*, 740: 141024.
- Sharma, D., D., Singh and D.G. Kaskaoutis. ۲۰۱۲. Impact of two intense dust storms on aerosol characteristics and radiative forcing over Patiala, northwestern India. *Advances in Meteorology*, ۲۰۱۲.
- Silakhor, E., H.N. Gharemakh and A. Aghtabai. ۲۰۱۸. Desertification risk assessment of Incheh-broun area in Golestan province using ESAs model. *Iranian Journal of Range and Desert Research*, ۲۵(۱): ۶۳-۷۰.
- Sorek-Hamer, M., I. Kloog., P. Koutrakis., A. W. Strawa., R. Chatfield., A. Cohen and D. M. Broday, ۲۰۱۰. Assessment of PM_{2.5} concentrations over bright surfaces using MODIS satellite observations. *Remote Sensing of Environment*, 163: 180-180.
- Tamiminia, H., B. Salehi., M. Mahdianpari., L. Quackenbush., S. Adeli and B. Brisco. ۲۰۲۰. Google Earth Engine for geo-big data applications: A meta-analysis and systematic review. *ISPRS Journal of Photogrammetry and Remote Sensing*, 164: 102-170.
- Vijayakumar, K., P.C.S. Devara., S.V.B. Rao and C.K. Jayasankar. ۲۰۱۶. Dust aerosol characterization and transport features based on combined ground-based, satellite and model-simulated data. *Aeolian Research*, ۴۱: ۷۰-۸۰.